

東洋建設 正〇 稲木直
神戸大学工学部 正 輪部大蔵, 学 大豊康臣

まえがき 過去密粘土のせん断特性を明らかにする場合、理論的は先導的実験だけから求めるとすれば、先行履歴のつくり方は無数にあらざる、膨大な実測と解析を要することになる。ニニゴは、過去密粘土に対する Roscoe らの弾塑性理論の適用性を検討するために行はる。たゞ、圧密履歴を与えた過去密粘土の三軸排水テストについて述べる。

実験方法 実験に用いた試料は信楽粘土である（物性は、比重 2.66、液性限界 46.22%，塑性限界 24.05%， Z_M 以下の粒径の含有量約 30%）。これを含水比 200% 以上で蒸留水を用いて練り返し、予備圧密器で圧密（最終荷重 0.75 kg/cm²）させて、実験には A, B の 2 バッチの予備圧密試料から高さ 80 mm、直徑 35 mm の円柱供試体を切り出して用いている。セットの方弦は上下加压板と供試体の間にシリコングリースを塗り、たゞゴム薄膜ではある、側面に排水用口紙を巻き、圧力室には 50% グリセリン水溶液を用いている。

供試体への加压方法は、まず $\sigma_1 = \sigma_3 = P$ とし、 $\epsilon = 0.25$ ($\epsilon = \sigma_1 - \sigma_3$ = 主応力差、 P = 平均主応力) を保ちながら $P = 5.0 \text{ kg/cm}^2$ にてまず段階的に載荷して圧密し、既にこれを一定に保ちたまま OCR (過圧密比) が 1~10 の所定の値に達するまで段階的に膨潤させた。最大圧密応力および最小膨潤応力を作用させた時間はそれぞれ 6 時間（ただし 100% 圧密時間は約 1.5 時間である、たゞ）とした。せん断過程では排水状態のまま全応力経路が $P = \text{一定}$ 、あるいは側面の $(\sigma_1 - P = \text{一定}) = \text{一定}$ の条件を保ちつつ応力制御で段階的に力を増加させた（破壊までの段階数約 8、各段階 3 時間）。このほか練り返し試験（供試体 B-6、応力経路は図 3-(a) 参照）を行はる。

実験結果 圧密過程における P と ω (含水比) の関係を図 1 に示す。図 2 は有効応力経路を等価圧密応力を P_e で除して標準化した応力経路であり、 $P/P_e = 1 + \epsilon$ とし、すなわち経路は正規圧密試料のものとなる。これは圧密曲面を表わすことになる。これが横軸には直交して立てるので、たゞ、この応力制御試験に対しては Roscoe

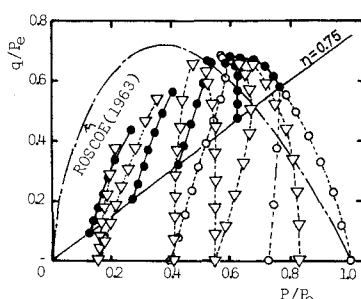
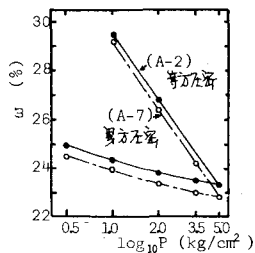
図 2 P_e で整理した応力経路

図 1 圧密形態曲線

表 1 セン断開始時の OCR と、応力条件

No.	OCR	せん断
A-1	1.0	$\Delta\sigma_m = 0$
A-2	1.00	$\Delta\sigma_r = 0$
A-3	2.0	$\Delta\sigma_m = 0$
A-4	2.0	$\Delta\sigma_r = 0$
A-6	1.00	$\Delta\sigma_m = 0$
B-1	1.25	$\Delta\sigma_m = 0$
B-7	2.86	$\Delta\sigma_m = 0$
A-5	2.0	$\Delta\sigma_r = 0$
A-7	1.00	$\Delta\sigma_r = 0$
B-2	1.0	$\Delta\sigma_m = 0$
B-4	3.3	$\Delta\sigma_r = 0$
B-5	1.25	$\Delta\sigma_m = 0$
* B-6	*	$\Delta\sigma_r = 0$

* 繰り返せば

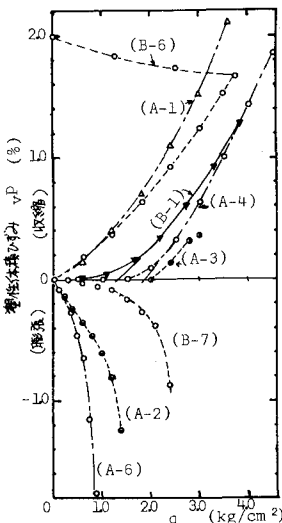


図 3-(b) 等方圧密供試体の塑性体積ひずみ

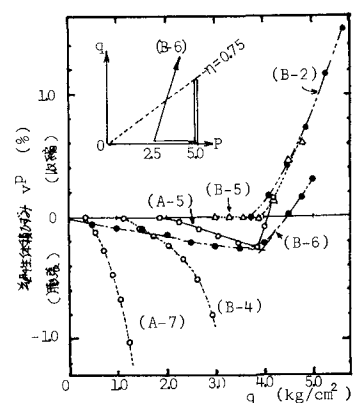


図 3-(a) 等方圧密供試体の塑性体積ひずみ

(1968) の Modified Model よりむしろ Original Model (1963) の理論が適当と思われるが、図中に示すようにその理論線も実験値と合致しない。図-3 はセイ断過程における塑性体積ひずみ (ϵ_p) と主応力差 (σ) の関係を示している。セイ断中に膨張する場合には当初から大きい塑性体積ひずみが生じて弾性域が見られないが、 $OCR = 1.25 \sim 2$ の試料では塑性体積ひずみの発生しない応力範囲が見られる。図-4 はセイ断過程におけるセイ断ひずみ ($\epsilon_s = \frac{1}{3}(\epsilon_1 - \epsilon_3)$) と σ の関係を示しているが、 $OCR = 1.25 \sim 2$ (あるいは 3.3 と 2) の試料の ϵ_s はセイ断初期には小さいが、みる程 σ が大きくなると急激に増大する。この現象を先行圧密の影響と考えると ϵ_s は開けた一端の弾性領域を求めることができる。図-5 は有効応力経路上に、上述の方法で求めた体積ひずみ降伏点とセイ断ひずみの降伏点をプロットしたものであり、また等ひずみ線も記入している。この図の、いわゆる wet 側では体積ひずみの降低点と直角な曲線は Roscoe (1963) の Original Model の降伏曲線にほぼ重なり、またセイ断ひずみの降伏点もやや小さめではあるが理論線附近にプロットされることがわかる。

図-6(a) は、セイ断ひずみが全て塑性ひずみであるとした場合の塑性ひずみ増分ベクトルであり、その応力増分量は矢印の根元から根元までである。ベクトルの向きは応力経路や圧密中のヒートル影響を受けているようであるが、大部分の傾向をみると、図-5(a) の等ひずみ試料のベクトルに直交する曲線は、同図に記入した体積ひずみの降伏点と直角な曲線とほぼ一致している。

まとめ 砂層履歴は、wet の範囲には体積ひずみのみならずセイ断ひずみにも弾性領域を作りだすようである。Roscoe (1963) の Original Model の状態曲面は実験値と一致しておらず、降伏曲線はこの実験では理論値に近い結果が得られた。また、dry の範囲での弾性領域は認められていなかった。

(参考文献) Roscoe & Burland (1968) On the Generalized Stress-Strain Behaviour of 'Wet Clay'

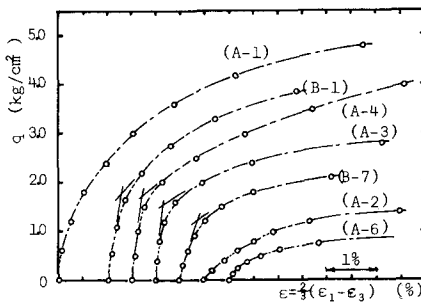


図-4-(a) 等方圧密供試体のセイ断ひずみ

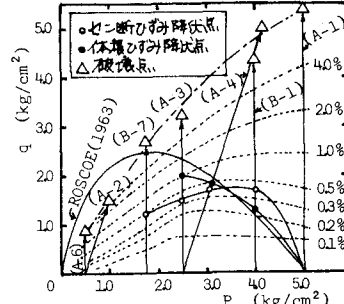


図-4-(b) 等方圧密供試体のセイ断ひずみ

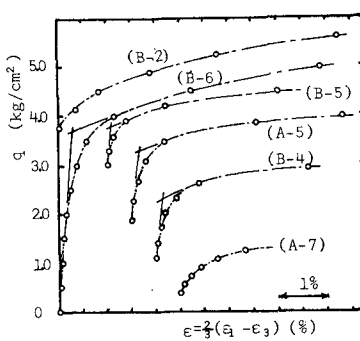


図-5-(a) 等方圧密供試体のセイ断ひずみ

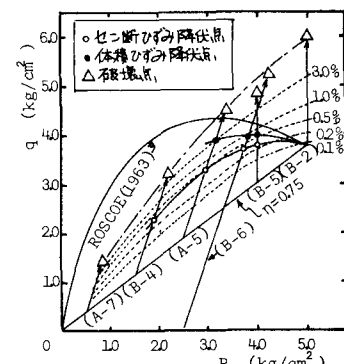


図-5-(b) 等方圧密供試体のセイ断ひずみ

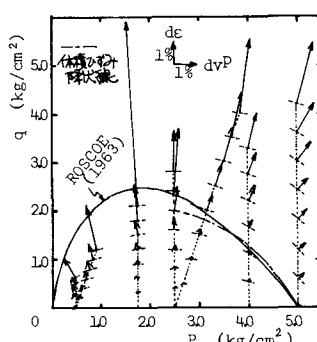


図-6-(a) 等方圧密供試体のひずみベクトル

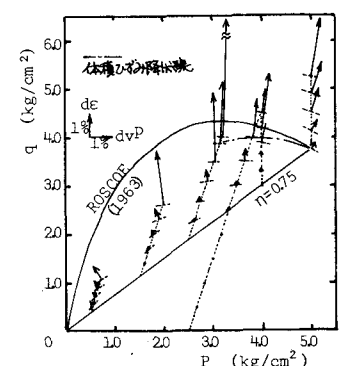


図-6-(b) 等方圧密供試体のひずみベクトル